

Fig. 1. Effects of tempering temperature and time on the change of composition of carbides extracted. (12%Cr-Mo steel.)

に起つており、たがいに分離できない。これはTable 2の結果を裏付けている。Mo含量は、焼戻しの進行とともに次第に増加して平衡に達する。

分析の結果、Mo、Wは独自の炭化物を生成することなしに、M₃C、M₇C₃、M₂₃C₆型炭化物の中に固溶しているものと思われる。V含量も焼戻し中余り変化しない。

(3) 硬度

Fig. 2は焼戻しによる硬度の変化をLarson-millerのパラメーターにとつたものである。12%Cr-W鋼の焼戻し硬度は12%Cr鋼とほとんど異なるが、12%Cr-Mo鋼、12%Cr-V鋼の低温短時間の焼戻し硬度の増加はいちじるしい。

しかし、一般にFig. 2 Change of hardness on tempering. 12%Cr鋼ではCr炭化物の成長につれて硬度は急激に減少し、2次硬化現象もあり顕著ではない。

(4) 電子顕微鏡

なお、エキストラクション・レプリカ電子線回折法による解析結果も、X線解析結果にほぼ一致した。Photo. 1は、12%Cr-Mo鋼および12%Cr-W鋼の焼戻し試料から得たエキストラクション・レプリカ写真的例である。

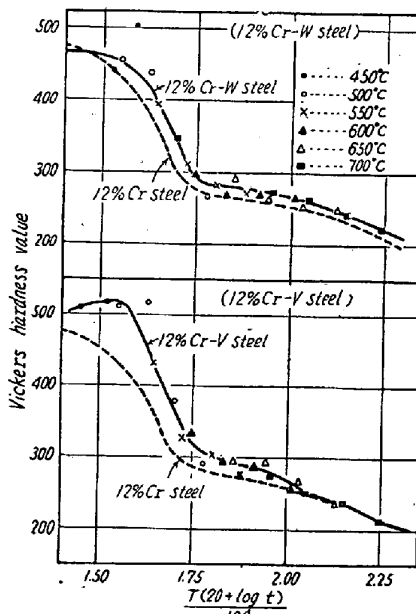
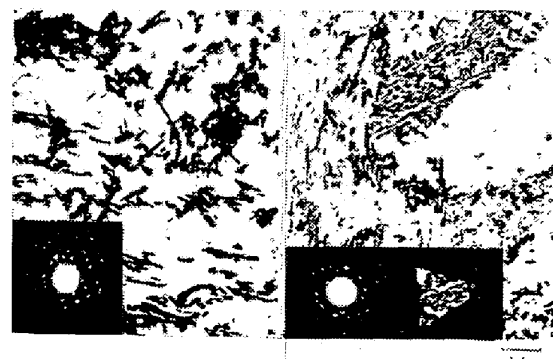


Fig. 2. Change of hardness on tempering.



12% Cr-W steel
2% Cr-Mo steel
Tempered at 700°C for 1 hour.
Carbon extraction replica

Photo. 1. Extraction micrograph of the carbides in 12% Cr-W steel and 12% Cr-Mo steel.

IV. 結 言

(1) 12%Cr-Mo鋼、12%Cr-W鋼、12%Cr-V鋼について焼戻しにともなう炭化物の挙動を観察するため、電解分離法により炭化物を分離採取し、X線解析、化学分析のほか、硬度、組織、電子顕微鏡組織などの一連の実験を行なつた。

(2) 12%Cr-Mo鋼では、Cr鋼のM₃C→M₇C₃→M₂₃C₆変態だけが起り、Mo独自の炭化物MC、M₂C、M₈Cは生成しない。M₃C→M₇C₃変態の時期は変わらないが、M₂₃C₆型炭化物の生成は早くなり、M₇C₃型炭化物の成長は顕著でない。

(3) 12%Cr-W鋼でも、Cr鋼のM₃C→M₇C₃→M₂₃C₆変態だけが起り、12%Cr-Mo鋼と同じような挙動を示した。

(4) 12%Cr-V鋼では、Cr鋼のM₃C→M₇C₃→M₂₃C₆変態だけが起り、V独自の炭化物MC(M₄C₃)は生成しない。M₇C₃型炭化物は12%Cr鋼よりも早く消失するが、12%Cr-Mo鋼および12%Cr-W鋼よりは安定である。

(161) 強力ステンレス鋼の高温特性について

(強力ステンレス鋼の研究—I)

東京大学工学部

○藤田利夫・安保秀雄・笹倉利彦

On High-Temperature Properties of High-Strength Stainless Steels.

(Studies on high-strength stainless steels—I)

Toshio Fujita, Hideo Abo
and Toshihiko Sasakura.

I. 緒 言

近年新らしいステンレス鋼として高力（析出硬化型）ステンレス鋼が現れ、強度（常温および高温）および耐食性がすぐれているため広く構造用材料に使用されるようになつた。

本研究は強力ステンレス鋼として特に高温強度のすぐれた 15-7 Mo 鋼およびこれに Ti, Be などの合金元素を添加した鋼 5 種類について高温の時効特性、クリープ破断試験、顕微鏡組織などを中心として調べたものである。

II. 試 料

試料は 15 kVA の高周波電気炉で 6 kg 熔解し、これを 20 mm の丸棒に鍛造しクリープ試験片に供した。さらに 10 mm の角棒に鍛造し硬度測定用の試料に使用した。

その化学成分を Table 1 に示す。S 1 は 15-7 Mo 鋼、S 2 は 15-7 Mo 鋼に 0.13% の Be を添加したもの、S 3 は 15-7 Mo 鋼の Al のかわりに Ti を添加したもの、S 4 は 15-7 Mo 鋼の Al の半分を Ti で置換したもの、S 5 は 15-7 Mo 鋼の Mo を同量の W で置換したものである。

III. 热処理および実験方法

各試料についてつきの熱処理を行なつた。

溶体化処理（A処理） $1050^{\circ}\text{C} \times 1/2\text{ h} \rightarrow \text{空冷}$

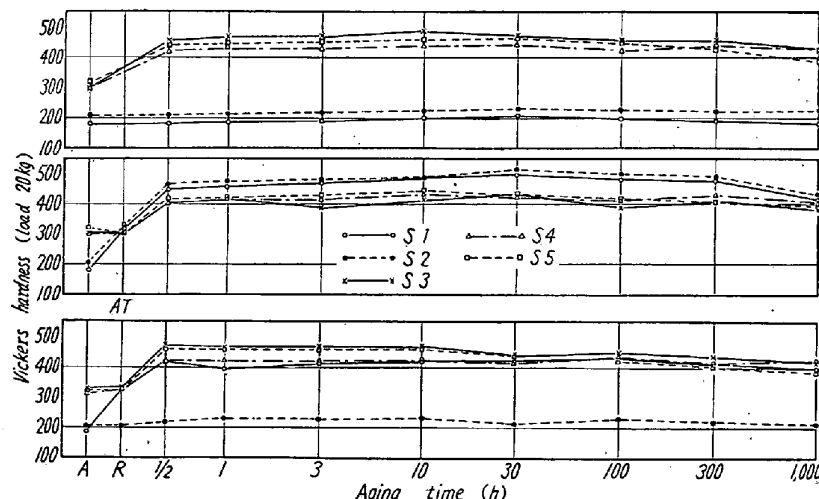


Fig. 1. Ageing characteristics of high-strength stainless steels.

Table 1. Chemical compositions. (%)

Specimen No.	C	Mn	Si	Cr	Ni	Mo	Al	Ti	W	Be
1	0.07	0.58	0.43	14.96	6.60	1.90	0.81	—	—	—
2	0.09	0.60	0.49	14.66	5.93	2.33	0.86	—	—	0.13
3	0.06	0.52	0.50	14.87	6.29	1.69	—	0.95	—	—
4	0.05	0.54	0.51	14.37	6.44	2.33	0.65	0.41	—	—
5	0.01	0.54	0.34	14.71	6.48	—	0.74	—	2.63	—

一次焼戻し処理（T処理） $760^{\circ}\text{C} \times 1^{1/2}\text{ h} \rightarrow \text{空冷}$

深冷処理（R処理） $-76^{\circ}\text{C} \times 15\text{ h}$

時効処理（H処理） 500°C

A-H, A-T-H および A-R-H 処理を行なつたものについて硬度の測定を行なつた。またクリープ試験片は A-T, A-R 処理を行なつた。クリープ破断試験は 500°C , 50 kg/mm^2 で行なつた。

IV. 実験結果

(1) 硬度

A, A-T, A-R 処理後 500°C でつぎの時間保持後空冷し硬度を測定した。 $1/2, 1, 3, 10, 30, 100, 300, 1000$ この結果を Fig. 1 に示す。

A-H 処理では S 1, S 2 はほとんど硬化しない。これは A 処理後ではこわらの試料がオーステナイトであるためである。S 3, S 4, S 5 は A 処理ですでにマルテンサイトになつておといちじるしく硬化する。

A-T 処理により S 1, S 2 もまたマルテンサイト化する。この場合には時効処理による硬化がいちじるしい。S 3, S 4, S 5 は A-H 処理の場合より硬化が少ない。これは A 処理ですでにマルテンサイト化しているので、 $760^{\circ}\text{C} \times 1^{1/2}\text{ h}$ の T 処理でマルテンサイトが焼戻されて軟化するためである。

A-R 処理すなわち焼なまし後深冷処理を行なうと S 1 はマルテンサイト化するが S 2 はまったくマルテンサイト化しない。したがつて S 2 は時効処理でもほとんど硬化せずオーステナイト状態のままである。また S 1 も時効処理による硬化は A-T 処理の場合ほど大きくなない。

一般にこの系統のステンレス鋼ではマルテンサイトになつた場合、R 処理の方が T 処理の場合よりビッカース硬度で 100 度高いのが普通である。したがつて深冷処理により、S 1 は完全にマルテンサイトになつていないと考えられる。S 3, S 4, S 5 の試料では時効処理による硬化は A-T 処理の場合とほとんど変わらない。ただ軟化が幾分早いように思われる。

(2) クリープ破断試験

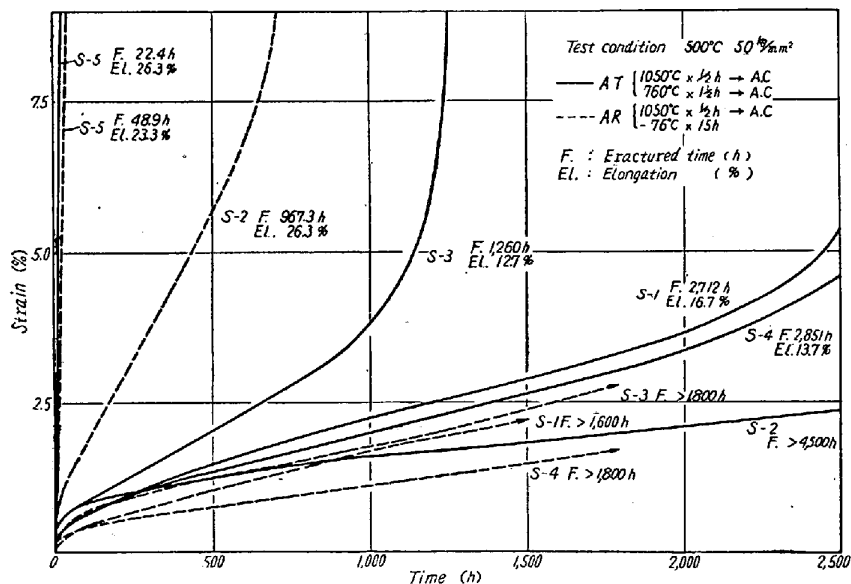


Fig. 2. Creep-rupture curves of high-strength stainless steels.

Fig. 2 にクリープ破断曲線を示す。実線は A T 处理、点線は A R 处理を行なつたものの 500°C , 50 kg/mm^2 のクリープ破断曲線である。A T 处理を行なつたものは 15-7 Mo に Be を添加した S2 がもつとも強く、 500°C , 50 kg/mm^2 で 4500 h でも破断しない。つぎに 15-7 Mo 鋼の Al の半分を Ti で置換した S4 がすぐれている。これから高温強度には Al と Ti が共存することが有利であることがわかる。また S3 のごとく Al を Ti に全部置換すれば、クリープ破断強さがかなり低下する点から考えて Al の方が Ti より有効であることがわかる。

15-7 Mo 鋼の Mo を同量の W で置換した S5 はクリープ破断強さは非常に低くなる。したがつてこの結果から 15-7 系ステンレス鋼のクリープ破断強さには W より Mo の方が非常に有効であることがわかる。S5 の A T H 处理のときの硬度は S3, S4 などとあまり差はないが、他の試料と異なつている点は S3, S4 の試料は約 10% 程度の δ フェライトを持っているのに反し、S5 ではこれが 2~3% 程度であるという点である。A R 处理を行なつた場合でも S5 がもつとも弱い。A T 处理でもつとも強力であつた S2 が A R 处理では非常に弱くなる。これは S2 が A R 处理では硬化せずオーステナイトのままであり、 500°C の長時間時効でもビッカース硬度 220 程度であるから当然である。

標準の 15-7 Mo 鋼すなわち S1 は A R 处理でも A T 处理でもマルテンサイト化するためにクリープ破断強さはすぐれているが特に A R 处理の方が有効である。

また 15-7 Mo 鋼の Al を Ti で置換した S3 は A R

処理を行なうことによりいちじるしくクリープ破断強さを高めることができる。したがつて Ti 添加を行なつたものは R 处理により完全にマルテンサイトになり Fig. 1 に示すごとくもつとも硬度が高くなっている。

以上のクリープ破断試験の結果から、 500°C 付近の耐熱鋼としては 15-7 Mo 鋼が非常にすぐれていることがわかる。特に 500°C 付近では 15-7 Mo 鋼程度の強さができる耐熱鋼はほとんどすべて破断伸びが数%である。したがつて高温用の構造材料として非常に優秀であることがわかる。

V. 結 言

15-7 Mo 鋼およびこれに Ti, Be などの合金元素を添加した鋼 5 種類について高温特性を中心調べた結果つぎのことがわかつた。

(1) オーステナイト状態のものは時効してもほとんど硬化せず、したがつてクリープ破断強さも小さい。

(2) 15-7 Mo 鋼の Mo を W で置換せるものは、時効硬度は大きいがクリープ破断強さはきわめて小さい。したがつて 15-7 系ステンレス鋼の高温強度に対しては W より Mo の方がすぐれている。

(3) 15-7 Mo 鋼に少量の Be を添加したものは一次焼戻を行なつてマルテンサイト状態になると、クリープ破断強さは非常に高くなる。

(4) 焼戻硬度とクリープ破断強さの間には明確な相関関係は見られないが、焼戻硬度の低いものはクリープ破断強さも小さい。

(5) 15-7 Mo の Al の半分を Ti で置換するとクリープ破断強さはかなり良くなる。また 15-7 Mo 鋼に対しては Ti より Al の方がすぐれている。

(6) 15-7 Mo 鋼は 500°C 付近のクリープ破断強さが非常にすぐれ、他の耐熱鋼では見られないほど破断伸びも大きい。したがつて 500°C 付近の構造材料としてはもつともすぐれていることがわかる。